

# УСТОЙЧИВЫЕ И НЕУСТОЙЧИВЫЕ ВИХРЕВЫЕ УЗЛЫ В ЗАХВАЧЕННОМ БОЗЕ-КОНДЕНСАТЕ

В. П. Рубан\*

Институт теоретической физики им. Л. Д. Ландау Российской академии наук  
142432, Черноголовка, Московская обл., Россия

Поступила в редакцию 1 ноября 2017 г.

В гидродинамическом приближении рассмотрена динамика квантового вихревого торического узла  $\mathcal{T}_{P,Q}$  и других подобных узлов в атомном бозе-конденсате, находящемся при нуле температуры в режиме Томаса–Ферми. Конденсат имеет пространственно-неоднородный равновесный профиль плотности  $\rho(z, r)$  благодаря действию внешнего осесимметричного потенциала. Предполагается, что  $z_* = 0$ ,  $r_* = 1$  является точкой максимума функции  $r\rho(z, r)$ , причем  $\delta(r\rho) \approx -(\alpha - \epsilon)z^2/2 - (\alpha + \epsilon)(\delta r)^2/2$  при малых  $z$  и  $\delta r$ . Геометрическая конфигурация узла в цилиндрических координатах определяется комплексной  $2\pi P$ -периодической функцией  $A(\varphi, t) = Z(\varphi, t) + i[R(\varphi, t) - 1]$ . В случае  $|A| \ll 1$  система описывается относительно простыми приближенными уравнениями для перемасштабированных функций  $W_n(\varphi) \propto A(2\pi n + \varphi)$  в количестве  $P$  штук:  $iW_{n,t} = -(W_{n,\varphi\varphi} + \alpha W_n - \epsilon W_n^*)/2 - \sum_{j \neq n} 1/(W_n^* - W_j^*)$ . При  $\epsilon = 0$  численно найдены для  $P = 3$  примеры устойчивых решений вида  $W_n = \theta_n(\varphi - \gamma t) \exp(-i\omega t)$  с нетривиальной топологией. Кроме того, промоделирована динамика различных нестационарных узлов с  $P = 3$ , причем в ряде случаев замечена тенденция к образованию особенности за конечное время. Для  $P = 2$  при малых  $\epsilon \neq 0$  исследованы вращающиеся вокруг оси  $z$  конфигурации вида  $W_0 - W_1 \approx B_0 \exp(i\zeta) + \epsilon C(B_0, \alpha) \exp(-i\zeta) + \epsilon D(B_0, \alpha) \exp(3i\zeta)$ , где  $B_0 > 0$  — произвольная константа,  $\zeta = k_0\varphi - \Omega_0 t + \zeta_0$ ,  $k_0 = Q/2$ ,  $\Omega_0 = (k_0^2 - \alpha)/2 - 2/B_0^2$ . В пространстве параметров  $(\alpha, B_0)$  обнаружены широкие области устойчивости таких решений. При этом в неустойчивых зонах возможен возврат вихревого узла к слабо возбужденному состоянию.

DOI: 10.7868/S0044451018030136

## 1. ВВЕДЕНИЕ

Одной из важных задач теории бозе-конденсированных атомных газов является описание динамики и статики квантовых вихревых нитей (см. обзор [1] и цитируемую там литературу). Данная проблема сильно усложняется (но также обогащается) тем обстоятельством, что конденсат находится во внешнем потенциале ловушки  $V(\mathbf{r})$  и потому движение вихрей происходит на пространственно-неоднородном фоне плотности. На эту тему проведены многочисленные исследования (см., например, [2–18]), но предмет далеко не исчерпан. В частности, динамика топологически нетривиальных вихревых конфигураций до сих пор рассматривалась только при однородной плотности (см. [19–25] и ссылки там). Чтобы частично заполнить имеющийся пробел в теории, в данной работе будут изучены простейшие вихревые узлы в захваченных осесимметричных конденсатах.

Сделаем сначала необходимые предварительные замечания, которые позволят нам достаточно просто вывести удобные для исследования приближенные уравнения движения заузленных вихревых нитей.

В общем случае вихри существенно взаимодействуют с потенциальными возмущениями и с надконденсатными атомами. Но если бозе-конденсат при нуле температуры находится в режиме Томаса–Ферми (ширина кора  $\xi$  много меньше характерного размера вихря  $R_*$ ), то потенциальными возбуждениями можно пренебречь и использовать «безэластичное» гидродинамическое приближение (см. примеры в работах [2–4, 7, 12, 26–28]). На формальном уровне это означает, что волновая функция конденсата  $\Psi(\mathbf{r}, t) = |\Psi| \exp(i\Phi)$  полностью определяется геометрией вихревой нити  $\mathbf{R}(\beta, t)$  (где  $\beta$  — произвольный продольный параметр,  $t$  — время) и соответствует минимуму функционала Гросса–Питаевского (все обозначения — стандартные)

\* E-mail: ruban@itp.ac.ru

$$\mathcal{H} = \int \left[ \frac{\hbar^2}{2m_{at}} |\nabla\Psi|^2 + [V(\mathbf{r}) - \mu] |\Psi|^2 + \frac{g}{2} |\Psi|^4 \right] d^3r \quad (1)$$

при условиях наличия вихря заданной формы и сохранении числа атомов. Из требования минимума  $\mathcal{H}$  в пределе  $\xi \ll R_*$  следуют приближенные условия для поля скорости  $\mathbf{v} = (\hbar/m_{at})\nabla\Phi$  в виде

$$\text{div}(\rho(\mathbf{r})\mathbf{v}) = 0, \quad \text{rot} \mathbf{v} = \Gamma \oint \delta(\mathbf{r} - \mathbf{R}) \mathbf{R}_\beta d\beta, \quad (2)$$

где  $\rho(\mathbf{r}) = m_{at}|\Psi_0(\mathbf{r})|^2 \approx m_{at}[\mu - V(\mathbf{r})]/g$  — невозмущенная равновесная плотность конденсата в отсутствие вихря,  $\Gamma = 2\pi\hbar/m_{at}$  — квант циркуляции скорости.

Для наших целей очень важно, что из гамильтоновой структуры уравнения Гросса – Питаевского, которому подчиняется волновая функция,

$$i\hbar\Psi_t = \delta\mathcal{H}/\delta\Psi^*, \quad (3)$$

при  $\xi \ll R_*$  следует вариационное уравнение для движения нити,

$$\Gamma[\mathbf{R}_\beta \times \mathbf{R}_t]\rho(\mathbf{R}) \approx \delta\mathcal{H}/\delta\mathbf{R}(\beta). \quad (4)$$

Прямое доказательство этого утверждения для однородного конденсата имеется в недавней работе [26]. Обобщение на неоднородный случай проводится весьма просто и поэтому мы его здесь не приводим. Ранее уравнение (4) было выведено более сложным путем в работе [4]. Именно уравнение (4) послужит основой разрабатываемой далее теории. Оно значительно упростит нам рассмотрение динамики вихревых узлов, поскольку позволит, во-первых, наиболее компактным и контролируемым способом вывести приближенные уравнения движения и, во-вторых, использовать методы гамильтоновой механики при их анализе.

Последовательное применение гидродинамического приближения потребовало бы решения вспомогательных уравнений (2), что привело бы к гамильтониану вихревой линии  $\mathcal{H}\{\mathbf{R}(\beta)\}$  в виде двойного контурного интеграла с участием трехмерной матричной функции Грина (см. технические подробности в [28]):

$$\mathcal{H}\{\mathbf{R}(\beta)\} = \frac{\Gamma^2}{2} \oint \oint \mathbf{R}'_1 \cdot \hat{G}(\mathbf{R}_1, \mathbf{R}_2) \mathbf{R}'_2 d\beta_1 d\beta_2, \quad (5)$$

где  $\mathbf{R}' = \mathbf{R}_\beta$ . Но если конфигурация вихревой нити далека от самопересечений (например, в случае умеренно деформированного вихревого кольца), то применимо приближение локальной индукции,

$$\mathcal{H}\{\mathbf{R}(\beta)\} \approx \mathcal{H}_{LIA} = \frac{\Gamma^2\Lambda}{4\pi} \oint \rho(\mathbf{R}) |\mathbf{R}'| d\beta, \quad (6)$$

где  $\Lambda = \ln(R_*/\xi) \approx \text{const} \gg 1$  — большой логарифм. Подстановка этого выражения в (4) и последующее разрешение относительно временной производной дают уравнение локальной индукции [2–4]:

$$\mathbf{R}_t|_{norm} = \frac{\Gamma\Lambda}{4\pi} \left( \varkappa \mathbf{b} + [\nabla \ln \rho(\mathbf{R}) \times \boldsymbol{\tau}] \right), \quad (7)$$

где  $\varkappa$  — локальная кривизна нити,  $\mathbf{b}$  — единичный вектор бинормали,  $\boldsymbol{\tau}$  — единичный касательный вектор.

Как известно, при  $\rho = \text{const}$  уравнение локальной индукции преобразованием Хасимото [29] приводится к одномерному фокусирующему нелинейному уравнению Шредингера и поэтому динамика вихревой нити на однородном фоне может быть близка к интегрируемой. Для неоднородных профилей плотности примеры применения этой модели можно найти в работах [14, 15, 30–32].

Но в ряде представляющих интерес случаев приближение локальной индукции оказывается заведомо недостаточным. Например, пусть в системе присутствует замкнутая вихревая нить типа торического узла  $\mathcal{T}_{P,Q}$  (где  $P$  и  $Q$  — взаимно простые натуральные числа), конфигурация которой в цилиндрических координатах определяется двумя  $2\pi P$ -периодическими по углу  $\varphi$  функциями  $Z(\varphi, t)$  и  $R(\varphi, t)$ . Тогда нетрудно оценить, что при разумных значениях параметра  $\Lambda = 5.0 \div 9.0$  вклад локальной индукции в динамику нити является хотя и существенным, но все же субдоминантным по сравнению с нелокальным квазидвумерным взаимодействием. Вихревые узлы на однородном фоне плотности ранее интенсивно исследовались (см. [19–25] и ссылки там), тогда как аналитических результатов для узлов в неоднородных конденсатах, по существу, до сих пор нет.

Целью данной работы является исследование динамики простейших вихревых узлов в захваченном ловушкой осесимметричном бозе-конденсате с профилем равновесной плотности  $\rho(z, r)$ . Мы выведем упрощенные уравнения движения для случая, когда функция  $r\rho(z, r)$  имеет квадратичный максимум в точке  $z = 0, r = R_*$ , так что

$$\frac{\delta(r\rho)}{R_*\rho_*} \approx - \left[ (\alpha - \epsilon) \frac{z^2}{2R_*^2} + (\alpha + \epsilon) \frac{(\delta r)^2}{2R_*^2} \right], \quad 0 \leq |\epsilon| < \alpha,$$

а форма вихревой нити описывается достаточно малыми функциями  $u = Z(\varphi, t)/R_*$  и  $v = R(\varphi, t)/R_* - 1$ . Будут найдены аналитические решения приближенных уравнений, соответствующие стационарно вращающимся вокруг оси  $z$  вихревым торическим узлам. В некоторых областях значений параметров

$\alpha$  и  $\epsilon$  стационарные решения оказываются устойчивыми, что, по-видимому, должно соответствовать долгоживущим узлам в исходной системе, описываемой уравнением Гросса – Питаевского.

**2. ВЫВОД УПРОЩЕННЫХ УРАВНЕНИЙ**

Далее для простоты формул используются безразмерные единицы, так что  $\Gamma/2\pi = 1, R_* = 1, \rho_* = 1$ . Разобьем полный период  $2\pi P$  функций  $u$  и  $v$  по азимутальному углу на  $P$  равных частей длиной  $2\pi$  и введем обозначения  $u_j(\varphi) \equiv u(2\pi j + \varphi), v_j(\varphi) \equiv v(2\pi j + \varphi)$ , где индекс  $j$  пробегает значения от 0 до  $P - 1$ . Будем предполагать, что выполнены неравенства

$$(u, v) \ll 1, \quad a_{jl} \equiv \sqrt{(u_j - u_l)^2 + (v_j - v_l)^2} \gg \xi/R_*$$

Очевидно, что типичные значения  $\tilde{u}, \tilde{v}$  и  $\tilde{a}_{jl}$  являются величинами одного порядка.

Воспользуемся тем фактом, что векторное уравнение (4) при выбранной нами параметризации вихревой линии эквивалентно неканонической гамильтоновой системе

$$(1 + v)\rho(u, 1 + v)u_t = \frac{\delta H}{\delta v}, \tag{8}$$

$$-(1 + v)\rho(u, 1 + v)v_t = \frac{\delta H}{\delta u}. \tag{9}$$

При малых  $u$  и  $v$  имеем

$$(1 + v)\rho(u, 1 + v) \approx \left[ 1 - (\alpha - \epsilon)\frac{u^2}{2} - (\alpha + \epsilon)\frac{v^2}{2} \right], \tag{10}$$

поэтому с достаточной точностью в левых частях уравнений (8), (9) можно положить  $(1 + v)\rho(u, 1 + v) \approx 1$ . Фактически это будет означать пренебрежение членами порядка  $\tilde{u}^2/\tilde{a}_{jl} \sim \tilde{u}$  по сравнению с членами порядка  $\Lambda\tilde{u}$  в уравнениях движения, как это будет ясно из дальнейшего рассмотрения. В правых же частях мы используем приближенный гамильтониан  $H \approx H_{LIA}^{(2)} + H_{2D}$ , первое слагаемое которого представляет собой разложенный до второго порядка гамильтониан локальной индукции в терминах функций  $u$  и  $v$ , а второе слагаемое есть гамильтониан взаимодействия строго соосных правильных вихревых колец в окрестности точки максимума функции  $r\rho$ :

$$H_{LIA}^{(2)} = \frac{\Lambda}{2} \int_0^{2\pi P} \left[ \frac{u_\varphi^2}{2} + \frac{v_\varphi^2}{2} - (\alpha - \epsilon)\frac{u^2}{2} - (\alpha + \epsilon)\frac{v^2}{2} \right] d\varphi, \tag{11}$$

$$H_{2D} \approx \frac{1}{2} \int_0^{2\pi} \sum_j \sum_{l \neq j} \ln \left[ (u_j - u_l)^2 + (v_j - v_l)^2 \right]^{-1/2} d\varphi, \tag{12}$$

причем суммирование по индексам  $l$  и  $j$  в двойной сумме ведется от 0 до  $P - 1$ , за исключением диагональных членов. Здесь следует отметить, что, вообще говоря, вместо логарифма в (12) должна стоять функция Грина  $G$ , которая является решением уравнения

$$-\partial_z \left[ \frac{G_z}{r\rho(z, r)} \right] - \partial_r \left[ \frac{G_r}{r\rho(z, r)} \right] = 2\pi\delta(z - z_0)\delta(r - r_0) \tag{13}$$

и представляет собой создаваемую точечным вихрем (расположенным в точке  $(z_0, r_0)$ ) цилиндрическую функцию тока в полуплоскости  $(z, r)$  для бездивергентного поля  $\rho v$ . Справедлива формула

$$G(z, r; z_0, r_0) = \sqrt{r\rho(z, r)r_0\rho(z_0, r_0)} \tilde{G}(z, r; z_0, r_0),$$

причем функция  $\tilde{G}$  удовлетворяет уравнению

$$[-\partial_z^2 - \partial_r^2 + \tilde{\kappa}^2(z, r)] \tilde{G} = 2\pi\delta(z - z_0)\delta(r - r_0), \tag{14}$$

где  $\tilde{\kappa}^2(z, r) = \sqrt{r\rho}[\partial_z^2 + \partial_r^2](1/\sqrt{r\rho})$ . В окрестности максимума имеем  $\tilde{\kappa}^2 \approx \alpha + \mathcal{O}(u^2, v^2)$ , и поэтому с достаточной точностью

$$\tilde{G} \approx K_0 \left( \sqrt{\alpha} \sqrt{(u - u_0)^2 + (v - v_0)^2} \right),$$

где  $K_0(\dots)$  – модифицированная функция Бесселя. Таким образом,

$$G \approx \left[ 1 - \frac{1}{4}(\alpha - \epsilon)(u^2 + u_0^2) - \frac{1}{4}(\alpha + \epsilon)(v^2 + v_0^2) \right] \times K_0 \left( \sqrt{\alpha} \sqrt{(u - u_0)^2 + (v - v_0)^2} \right). \tag{15}$$

Заменяя в гамильтониане данное выражение логарифмом, мы пренебрегаем членами порядка  $\tilde{u}^2 \ln \tilde{u}$  по сравнению с главным вкладом локальной индукции, который имеет порядок  $\Lambda\tilde{u}^2$ . Ясно также, что мы пренебрегли теми эффектами в гамильтониане взаимодействия, которые связаны с отличием формы нити от идеального соосного кольца.

В результате всех сделанных упрощений получается каноническая гамильтонова система нелинейных уравнений для  $u_n$  и  $v_n$ , способная описать динамику вихревых узлов:

$$u_t = -\frac{\Lambda}{2} [v_{\varphi\varphi} + (\alpha + \epsilon)v] - \sum_{j \neq n} \frac{v_n - v_j}{(u_n - u_j)^2 + (v_n - v_j)^2}, \tag{16}$$

$$-v_t = -\frac{\Lambda}{2} [u_{\varphi\varphi} + (\alpha - \epsilon)u] - \sum_{j \neq n} \frac{u_n - u_j}{(u_n - u_j)^2 + (v_n - v_j)^2}. \quad (17)$$

Перемасштабируя здесь время  $\Lambda t_{old} = t_{new}$  и вводя комплекснозначные функции  $W_n = \sqrt{\Lambda}(u_n + iv_n)$ , представим нашу систему в более компактном виде,

$$iW_{n,t} = -\frac{1}{2}(W_{n,\varphi\varphi} + \alpha W_n - \epsilon W_n^*) - \sum_{j \neq n} \frac{1}{W_n^* - W_j^*}, \quad (18)$$

с циклической перестановкой в граничных условиях  $W_0(2\pi) = W_1(0)$ ,  $W_1(2\pi) = W_2(0), \dots, W_{P-1}(2\pi) = W_0(0)$ . Отметим попутно, что эта же система, но с другими граничными условиями, когда перестановка содержит несколько циклов, способна описать динамику нескольких вихревых нитей, в том числе зацепленных и заузленных.

Заметим еще, что сумма  $w = \sum_n W_n$  удовлетворяет линейному уравнению

$$iw_t = -\frac{1}{2}(w_{\varphi\varphi} + \alpha w - \epsilon w^*) \quad (19)$$

с периодическими граничными условиями, которое легко решается и имеет собственные частоты

$$\omega_m = \frac{1}{2} \operatorname{sgn}(m^2 - \alpha + |\epsilon|) \times \sqrt{(m^2 - \alpha + \epsilon)(m^2 - \alpha - \epsilon)}, \quad (20)$$

где  $m$  — целое число. Учет следующих поправок по амплитудам привел бы нас к значительно более громоздким уравнениям движения, чем (18). Во многих случаях такой учет не нужен. Исключение составляют возможные параметрические резонансы типа  $\omega_0 = -2\omega_m$ , для которых требуются определенные соотношения между  $\alpha$  и  $\epsilon$  (см. пример в работе [32]). Мы для простоты здесь предполагаем нерезонансный случай.

### 3. РЕШЕНИЯ ПРИ $\epsilon = 0$

От пространственной неоднородности конденсата в уравнения (18) вошли только коэффициенты  $\alpha$  и  $\epsilon$ . Существенное влияние на динамику они оказывают, лишь когда  $\epsilon \neq 0$ . Если же  $\epsilon = 0$ , то простым изменением фазы  $W_n = \Theta_n \exp(i\alpha t/2)$  члены с  $\alpha$  убираются из системы и тогда для  $\Theta_n(\varphi, t)$  получаются известные уравнения, которые используются при моделировании длинноволновой динамики

слабо искривленных, почти параллельных вихревых нитей в однородной идеальной жидкости (см., например, [33–36] и ссылки там):

$$i\Theta_{n,t} = -\frac{1}{2}\Theta_{n,\varphi\varphi} - \sum_{j \neq n} \frac{1}{\Theta_n^* - \Theta_j^*}. \quad (21)$$

В этом случае, помимо соответствующего гамильтониана

$$H_0 = \int_0^{2\pi} \left( \sum_n |\Theta_{n,\varphi}|^2/2 - \sum_n \sum_{l \neq n} \ln |\Theta_n - \Theta_l| \right) d\varphi \quad (22)$$

и углового момента (относительно оси  $z$ )

$$M = \frac{1}{2i} \int_0^{2\pi} \sum_n (\Theta_n^* \Theta_{n,\varphi} - \Theta_n \Theta_{n,\varphi}^*) d\varphi, \quad (23)$$

в системе имеются дополнительные интегралы движения

$$N_\sigma = \int_0^{2\pi} \sum_n |\Theta_n - \sigma|^2 d\varphi. \quad (24)$$

Следовательно, существуют устойчивые (в рамках рассматриваемой приближенной модели) решения вида  $\Theta_n = \sigma + \theta_n(\varphi - \gamma t) \exp(i\lambda t)$ , которые приводят к минимуму ограниченного снизу функционала  $\tilde{H}_0 = H_0 + \lambda N_\sigma - \gamma M$  с некоторыми константами  $\lambda$ ,  $\sigma$  и  $\gamma$  (без ограничения общности далее будем полагать  $\sigma = 0$ ). В частности, торические узлы  $\mathcal{T}_{P,Q}$ , когда

$$\theta_n = c \exp\left(i\frac{2\pi n Q}{P} + i\frac{Q}{P}\varphi\right), \quad (25)$$

заведомо устойчивы при  $P \leq 6$ , что следует из классического результата об устойчивости правильного  $P$ -угольника точечных вихрей на плоскости (см. обсуждение в [37] и ссылки там).

Таким образом, получен интересный теоретический результат: при определенных параметрах внешнего потенциала в конденсате могут существовать долгоживущие вихревые узлы. Так, в гармонической анизотропной ловушке, где приведенный к безразмерному виду профиль плотности конденсата в режиме Томаса–Ферми дается выражением

$$\rho = \frac{3}{2} - \frac{r^2 + \alpha_{\parallel} z^2}{2},$$

коэффициенты системы (18) равны

$$\alpha = \frac{3 + \alpha_{\parallel}}{2}, \quad \epsilon = \frac{3 - \alpha_{\parallel}}{2}.$$

Чтобы вихревой узел был максимально устойчивым, необходимо использовать параметр анизотропии  $\alpha_{\parallel} \approx 3$ .

Численное нахождение примеров таких «стационарных» решений не составляет труда и может быть эффективно выполнено методом градиентного спуска, т. е. путем решения вспомогательной эволюционной системы

$$f_{n,\tau} = -\frac{\delta \tilde{H}_0}{\delta f_n^*} = \frac{1}{2} f_{n,\varphi\varphi} - i\gamma f_{n,\varphi} - \lambda f_n + \sum_{j \neq n} \frac{1}{f_n^* - f_j^*}. \quad (26)$$

Несколько нетривиальных примеров для  $P = 3$  показаны на рис. 1 (при выборе  $\Lambda = 6.25$ ; линия на рисунке тем толще, чем больше локальное значение координаты  $z$ ).

Однако было бы ошибкой думать, что, взяв произвольные начальные данные  $f_n(\varphi, \tau = 0)$ , мы сможем проинтегрировать эти уравнения по «времени» до сколь угодно больших  $\tau$  с сохранением начальной топологии узла и обязательно получим в пределе  $\tau \rightarrow +\infty$  некоторые гладкие функции  $f_n \rightarrow \theta_n$ . Напротив, вполне может случиться, что за конечное время в системе (26) произойдет образование сингулярности, когда  $\delta(\tau) \equiv \min_{\varphi} |f_j(\varphi, \tau) - f_l(\varphi, \tau)| \rightarrow 0$  при  $\tau \rightarrow \tau_{sing}$ . Численная дискретизация кривых приведет к тому, что в некоторой точке нить пересечет сама себя, и топология узла при этом изменится. Другими словами, дисперсионная тенденция к сглаживанию локально «перевитых» нитей может возобладать над их взаимным отталкиванием. Действительно, когда характерный масштаб по  $\varphi$  становится порядка  $\delta$ , то дисперсионное слагаемое  $f_{\varphi\varphi}$  имеет тот же порядок  $1/\delta$ , что и нелинейный член. Поэтому вопрос о том, всегда ли имеется стационарное решение при заданной топологии узла, остается открытым.

И тем не менее, во многих случаях  $\delta(\tau)$  в нуль не обращается, топология начального узла сохраняется и гладкие решения благополучно находятся (иногда, правда, релаксация к минимуму  $\tilde{H}_0$  происходит довольно медленно).

Следует еще упомянуть принципиально возможный случай  $\alpha < 0$ , когда функция  $r\rho(z, r)$  имеет в точке  $z = 0, r = 1$  не максимум, а минимум. В этом случае при  $\epsilon \neq 0$  интегралы  $N_{\sigma}$  отсутствуют, но зато функционал  $H - \gamma M$  сам по себе оказывается ограниченным снизу. Поэтому существуют стационарно вращающиеся вокруг оси  $z$  устойчивые узлы вида  $W_n = F_n(\varphi - \gamma t)$ .

Другой заслуживающий внимания результат касается численного моделирования уравнений движения. Оказывается, что тенденция к образованию особенности за конечное время может проявляться и в самой консервативной системе (21), а не только в градиентной системе (26). Соответствующий пример приведен на рис. 2. В рамках уравнения Гросса–Питаевского подобное резкое сближение вихревых линий обычно приводит к их перезамыканию. Разумеется, наши упрощенные уравнения теряют свою буквальную применимость вблизи сингулярности, но начальную стадию ее формирования они отражают верно. Выяснение условий коллапса и его связи с топологией вихря представляет интересную задачу.

#### 4. СЛУЧАЙ $P = 2$

Рассмотрим теперь более подробно простейшие конфигурации с  $P = 2$ . Вводя сумму  $w = W_0 + W_1$  и разность  $W = W_0 - W_1$ , получим два «незацепленных» уравнения: уравнение (19) и

$$iW_t = -\frac{1}{2}(W_{\varphi\varphi} + \alpha W - \epsilon W^*) - \frac{2}{W^*}, \quad (27)$$

причем последнее — с антипериодическими граничными условиями. Сосредоточим наше внимание на этом уравнении. В случае  $\epsilon = 0$  имеются точные решения вида

$$W = B_0 \exp(ik_0\varphi - i\Omega_0 t + i\zeta_0), \quad (28)$$

зависящие от действительного параметра  $B_0 > 0$ , где

$$\Omega_0 = \frac{1}{2}(k_0^2 - \alpha) - \frac{2}{B_0^2}, \quad (29)$$

а  $k_0$  должно быть полужелым числом  $Q/2$  (при  $k_0 = 3/2$  решение соответствует «трилистнику»  $\mathcal{T}_{2,3}$ ). Нетрудно проанализировать малые возмущения и убедиться, что данное решение устойчиво при всех  $B_0$  и  $\alpha$ .

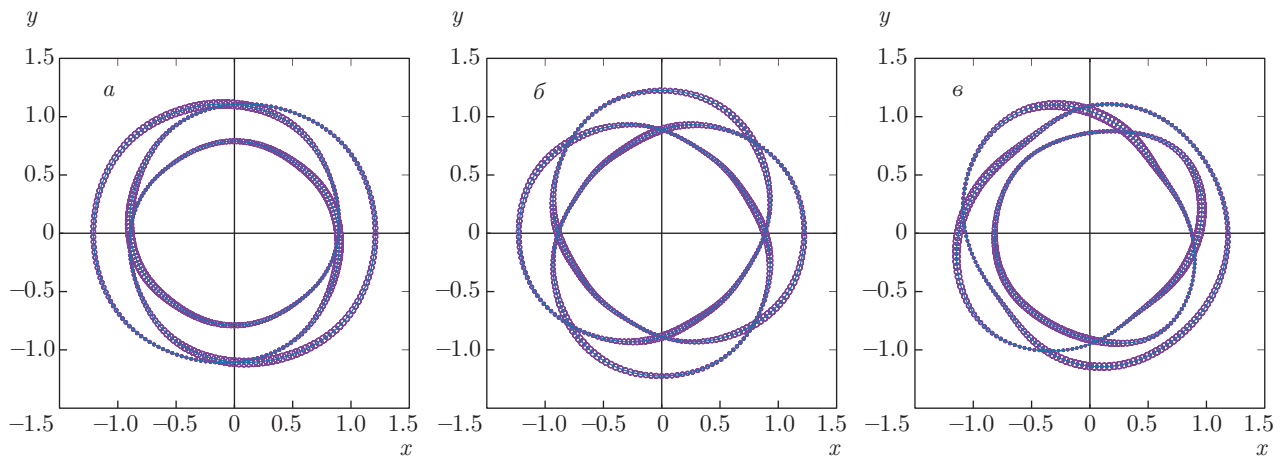
Более сложно обстоит дело, когда  $\epsilon \neq 0$ . В этом случае также имеются стационарные решения. При малых  $\epsilon$  с точностью до первого порядка легко получить, что

$$W \approx B_0 \exp(i\zeta) + \epsilon C \exp(-i\zeta) + \epsilon D \exp(3i\zeta), \quad (30)$$

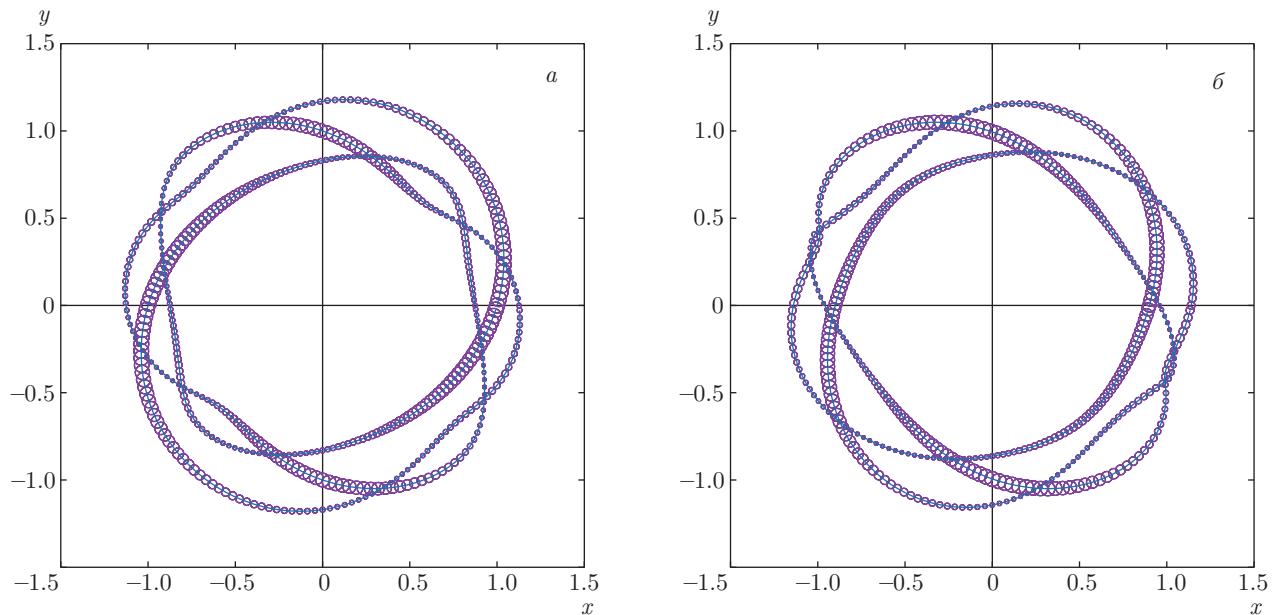
где  $\zeta = k_0\varphi - \Omega_0 t + \zeta_0$ , а коэффициенты  $C$  и  $D$  удовлетворяют линейной системе уравнений:

$$-\Omega_0 C = \frac{1}{2}(k_0^2 - \alpha)C + \frac{2}{B_0^2}D + \frac{B_0}{2}, \quad (31)$$

$$3\Omega_0 D = \frac{1}{2}(9k_0^2 - \alpha)D + \frac{2}{B_0^2}C. \quad (32)$$



**Рис. 1.** Примеры устойчивых узлов при  $P = 3$ , найденных путем решения уравнений (26) с различными начальными условиями: а)  $f(\varphi, 0) = 0.6[i \cos(2\varphi/3) - 0.5 \sin(4\varphi/3)]$  — узел «восьмерка» (figure-eight knot), б)  $f(\varphi, 0) = 0.6[i \cos(4\varphi/3) - 0.5 \sin(8\varphi/3)]$ , в)  $f(\varphi, 0) = 0.6i\{\cos(\varphi/3) + \exp(11i\varphi/3)[1 + \cos(2(\varphi - \pi)/3)]^4/16\}$  — так называемый «бабий узел» (granny knot). В случаях а) и б) параметры  $\lambda = 4.0, \gamma = 0$ . В случае в)  $\lambda - \gamma^2/2 = 4.5, \gamma = 1.5$



**Рис. 2.** Тенденция к формированию особенности за конечное время: а) начальная конфигурация узла, полученная путем интегрирования системы (26) с параметрами  $\lambda - \gamma^2/2 = 4.0, \gamma = 0.7$  до значения  $\tau_{max} = 7.0$ , с начальными условиями  $f(\varphi, 0) = 0.6[\exp(2i\varphi/3) + \exp(4i\varphi/3) + \exp(8i\varphi/3)]$ ; б) узел при  $t = 2.3$  со сблизившимися участками нити (показан без учета фазового множителя  $\exp(iat/2)$ )

Решение этой системы имеет вид

$$D = \frac{B_0}{J}, \quad C = -\frac{B_0^3}{2J} \left( 3k_0^2 + \alpha + \frac{6}{B_0^2} \right), \quad (33)$$

$$J = -\frac{4}{B_0^2} + B_0^2 \left( k_0^2 - \alpha - \frac{2}{B_0^2} \right) \left( 3k_0^2 + \alpha + \frac{6}{B_0^2} \right). \quad (34)$$

Разница по сравнению со случаем  $\epsilon = 0$  состоит в том, что при некоторых соотношениях между  $B_0$  и  $\alpha$  в рассматриваемой динамической системе оказываются возможными параметрические резонансы, приводящие к неустойчивостям. Другими словами, при наличии малых случайных возмущений в начальных данных на фоне стационарного реше-

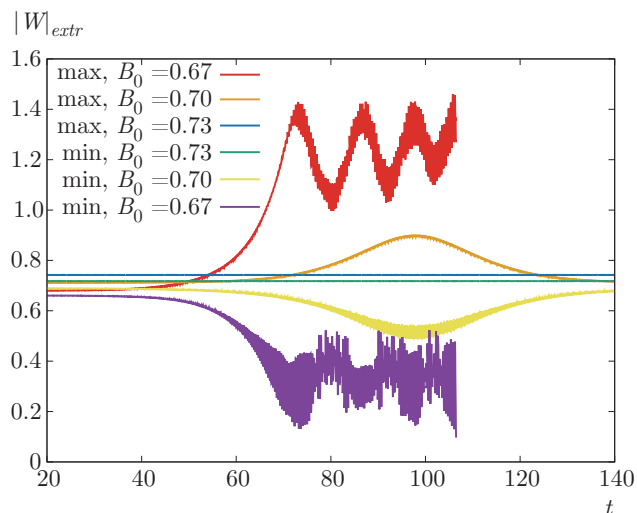


Рис. 3. (В цвете онлайн) Примеры динамики экстремальных отклонений для устойчивых и неустойчивых решений (30)

ния возможны три сценария последующей динамики наибольшего и наименьшего значений  $|W|$ . Если решение (30) устойчиво, то  $|W|$  не испытывает заметных изменений. Если же (30) неустойчиво, то отклонения  $|W|$  сначала растут экспоненциально, а затем либо отклонения возвращаются к исходным малым значениям, либо система переходит в квазитурбулентный режим. Для иллюстрации сказанного на рис. 3 приведены примеры найденных численно временных зависимостей экстремальных значений  $\max_{\varphi} |W(\varphi, t)|$  и  $\min_{\varphi} |W(\varphi, t)|$  при  $\alpha = 2.8$ ,  $\epsilon = 0.2$  для нескольких  $B_0$ . На рис. 4 показана структура решения при возвратной динамике неустойчивой моды.

Если в каждом таком численном эксперименте на достаточно большом интервале времени фиксировать глобально достигнутые экстремальные значения величины  $|W|/B_0$ , а затем построить их зависимость от  $B_0$ , то получится структура устойчивых и неустойчивых зон при заданных  $\alpha$  и  $\epsilon$ . Соответствующий пример приведен на рис. 5. Существенно, что при достаточно малых  $\epsilon$  зоны устойчивости доминируют.

### 5. ЗАКЛЮЧЕНИЕ

Таким образом, в данной работе впервые предложены достаточно простые и удобные для аналитических исследований и численного моделирования гамильтоновы уравнения, описывающие в некотором пределе динамику заузленных квантовых вихрей

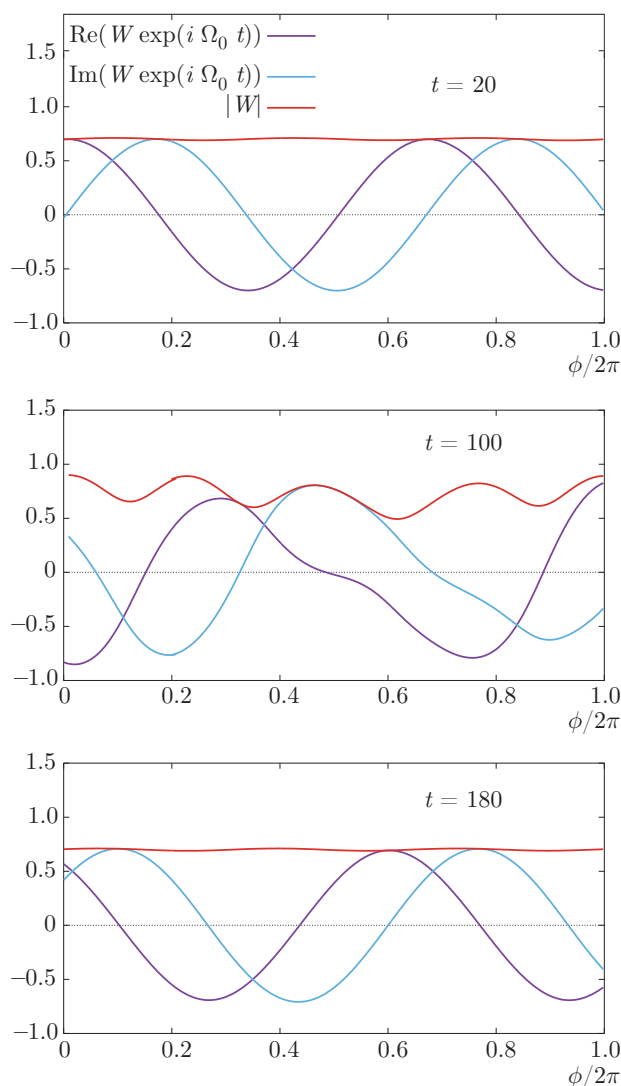


Рис. 4. (В цвете онлайн) Рост и последующее затухание неустойчивой моды при  $\alpha = 2.8$ ,  $\epsilon = 0.2$ ,  $B_0 = 0.7$

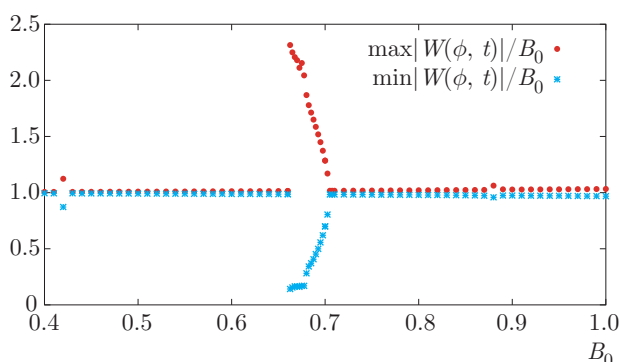


Рис. 5. (В цвете онлайн) Структура устойчивых и неустойчивых зон при  $\alpha = 2.8$ ,  $\epsilon = 0.2$ . Видна одна сильно неустойчивая зона вблизи  $B_0 = 0.66$ , а также две слабо неустойчивых зоны вблизи  $B_0 = 0.42$  и  $B_0 = 0.88$

в пространственно-неоднородных осесимметричных бозе-конденсатах в режиме Томаса – Ферми при нуле температуры. В численных экспериментах в ряде случаев наблюдалась тенденция к формированию особенности за конечное время в узлах со сложной топологией. В рамках предложенной модели при определенных значениях параметров найдены устойчивые стационарные решения с различной топологией, аналогов которым в однородных конденсатах нет. Обнаружено, что в общем случае стационарные решения в виде торических узлов могут быть параметрически неустойчивыми, но зоны неустойчивости являются относительно узкими при малой анизотропии максимума функции  $r\rho(z, r)$ , в области которого наблюдается вся динамика.

Теория построена при большом параметре  $\Lambda$ . В действительности, однако, он никогда не бывает очень большим. Поэтому представляется желательным сравнить предсказания упрощенной модели с результатами прямого численного моделирования уравнения Гросса – Питаевского при умеренных  $\Lambda$ .

## ЛИТЕРАТУРА

1. A. L. Fetter, *Rev. Mod. Phys.* **81**, 647 (2009).
2. A. A. Svidzinsky and A. L. Fetter, *Phys. Rev. A* **62**, 063617 (2000).
3. A. L. Fetter and A. A. Svidzinsky, *J. Phys.: Condens. Matter* **13**, R135 (2001).
4. V. P. Ruban, *Phys. Rev. E* **64**, 036305 (2001).
5. A. Aftalion and T. Riviere, *Phys. Rev. A* **64**, 043611 (2001).
6. J. Garcia-Ripoll and V. Perez-Garcia, *Phys. Rev. A* **64**, 053611 (2001).
7. J. R. Anglin, *Phys. Rev. A* **65**, 063611 (2002).
8. A. Aftalion and R. L. Jerrard, *Phys. Rev. A* **66**, 023611 (2002).
9. P. Rosenbusch, V. Bretin, and J. Dalibard, *Phys. Rev. Lett.* **89**, 200403 (2002).
10. A. Aftalion and I. Danaïla, *Phys. Rev. A* **68**, 023603 (2003).
11. A. Aftalion and I. Danaïla, *Phys. Rev. A* **69**, 033608 (2004).
12. D. E. Sheehy and L. Radzihovsky, *Phys. Rev. A* **70**, 063620 (2004).
13. I. Danaïla, *Phys. Rev. A* **72**, 013605 (2005).
14. A. Fetter, *Phys. Rev. A* **69**, 043617 (2004).
15. T.-L. Horng, S.-C. Gou, and T.-C. Lin, *Phys. Rev. A* **74**, 041603 (2006).
16. S. Serafini, M. Barbiero, M. Debortoli, S. Donadello, F. Larcher, F. Dalfovo, G. Lamporesi, and G. Ferrari, *Phys. Rev. Lett.* **115**, 170402 (2015).
17. S. Serafini, L. Galantucci, E. Iseni, T. Bienaime, R. N. Bisset, C. F. Barenghi, F. Dalfovo, G. Lamporesi, and G. Ferrari, *Phys. Rev. X* **7**, 021031 (2017).
18. R. N. Bisset, S. Serafini, E. Iseni, M. Barbiero, T. Bienaime, G. Lamporesi, G. Ferrari, and F. Dalfovo, *Phys. Rev. A* **96**, 053605 (2017).
19. R. L. Ricca, D. C. Samuels, and C. F. Barenghi, *J. Fluid Mech.* **391**, 29 (1999).
20. F. Maggioni, S. Alamri, C. F. Barenghi, and R. L. Ricca, *Phys. Rev. E* **82**, 026309 (2010).
21. D. Proment, M. Onorato, and C. F. Barenghi, *Phys. Rev. E* **85**, 036306 (2012).
22. D. Kleckner and W. T. M. Irvine, *Nature Phys.* **9**, 253 (2013).
23. D. Proment, M. Onorato, and C. F. Barenghi, *J. Phys.: Conf. Ser.* **544**, 012022 (2014).
24. P. Clark di Leoni, P. D. Mininni, and M. E. Brachet, *Phys. Rev. A* **94**, 043605 (2016).
25. D. Kleckner, L. H. Kauffman, and W. T. M. Irvine, *Nature Phys.* **12**, 650 (2016).
26. M. D. Bustamante and S. Nazarenko, *Phys. Rev. E* **92**, 053019 (2015).
27. В. П. Рубан, *Письма в ЖЭТФ* **105**, 449 (2017).
28. В. П. Рубан, *ЖЭТФ* **151**, 1092 (2017).
29. H. Hasimoto, *J. Fluid Mech.* **51**, 477 (1972).
30. В. П. Рубан, *Письма в ЖЭТФ* **103**, 878 (2016).
31. В. П. Рубан, *Письма в ЖЭТФ* **104**, 875 (2016).
32. В. П. Рубан, *Письма в ЖЭТФ* **106**, 208 (2017).
33. В. Е. Захаров, *УФН* **155**, 529 (1988).
34. R. Klein, A. J. Majda, and K. Damodaran, *J. Fluid Mech.* **288**, 201 (1995).
35. C. E. Kenig, G. Ponce, and L. Vega, *Comm. Math. Phys.* **243**, 471 (2003).
36. N. Hietala, R. Hanninen, H. Salman, and C. F. Barenghi, *Phys. Rev. Fluids* **1**, 084501 (2016).
37. H. Aref, *J. Fluid Mech.* **290**, 167 (1995).